

Chapter 5

Modeling and Control of Interior Permanent Magnet Synchronous Motor; IPMSM

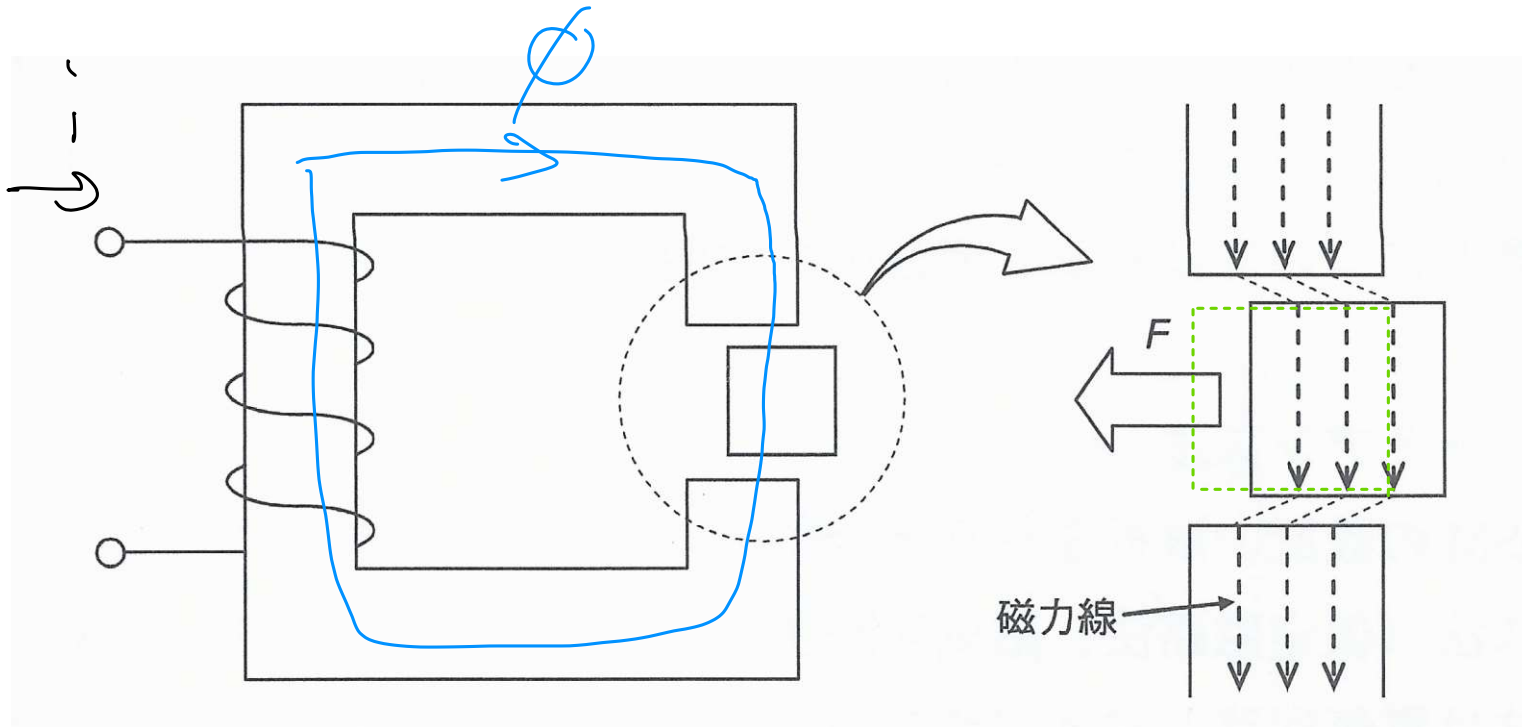
$$R = \frac{l}{\mu A}$$

$$L = \frac{N^2}{R}$$

$$i \rightarrow H \rightarrow B \rightarrow \phi \rightarrow \lambda$$

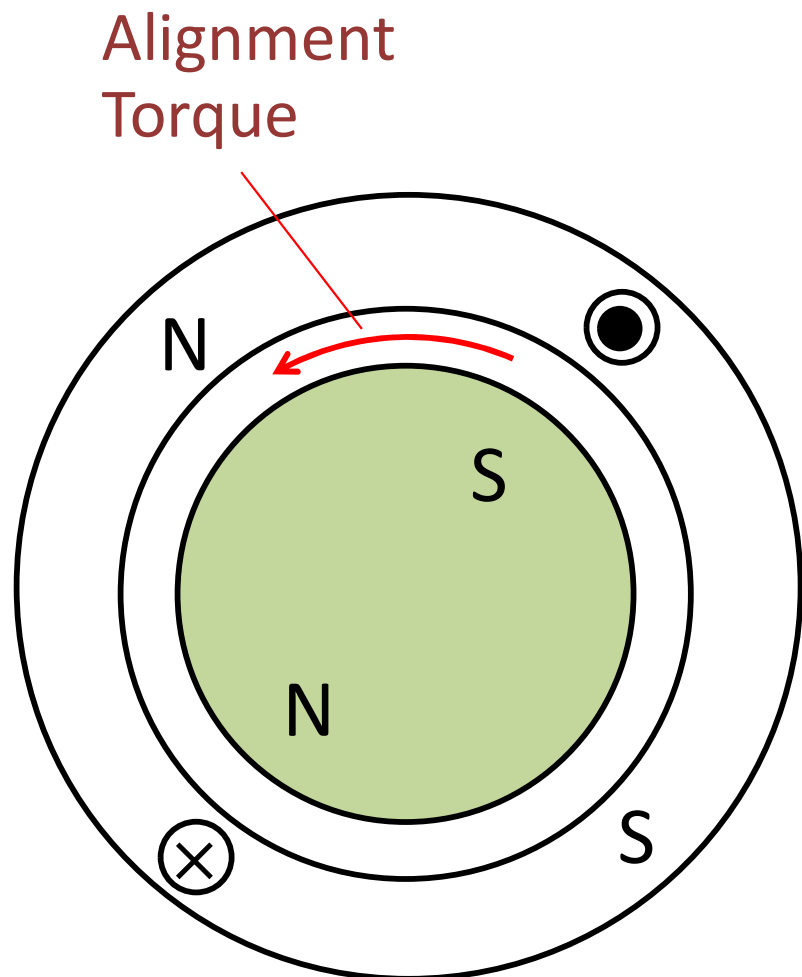
$$\begin{array}{ccccccc} N_i & B = \mu H & \phi = BA & \lambda = N\phi \\ \text{MMF} & & & \end{array}$$

Reluctance Force

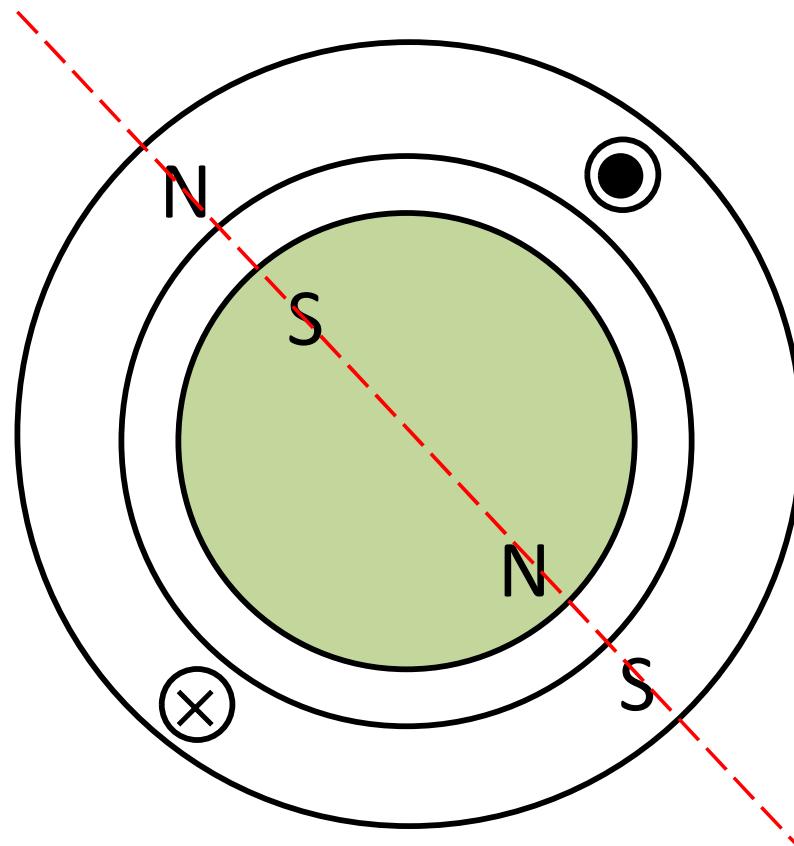


เป็นแรงที่เกิดขึ้นในทิศทางที่พยายามทำให้ Reluctance ในวงจรแม่เหล็กมีค่าน้อยที่สุด
(พิจารณาจากเส้นแรงของสนามแม่เหล็ก)

Alignment Torque



Align

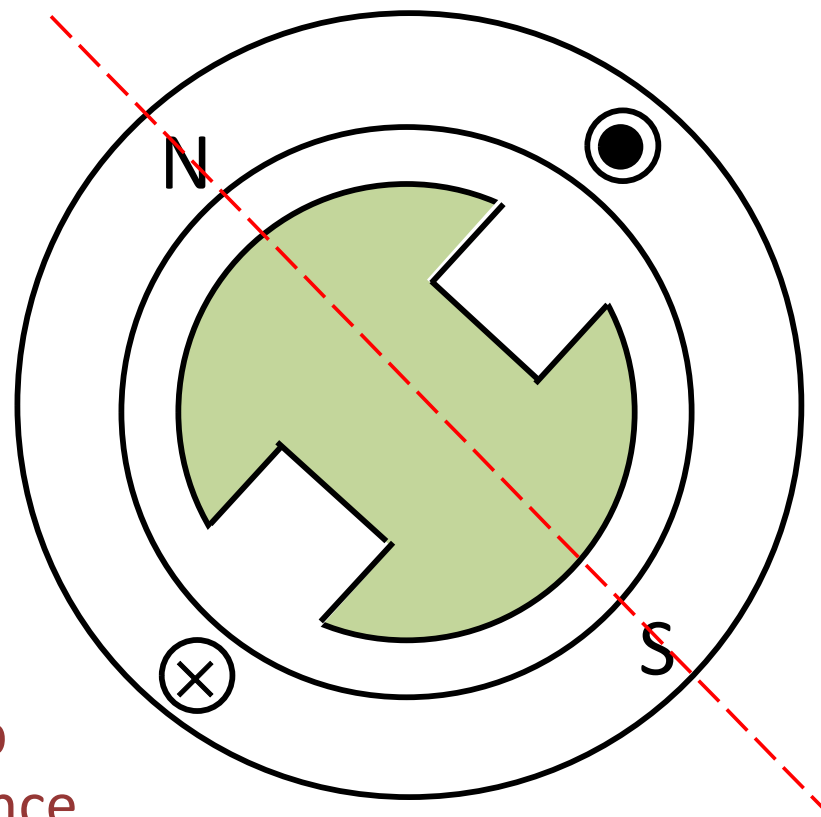
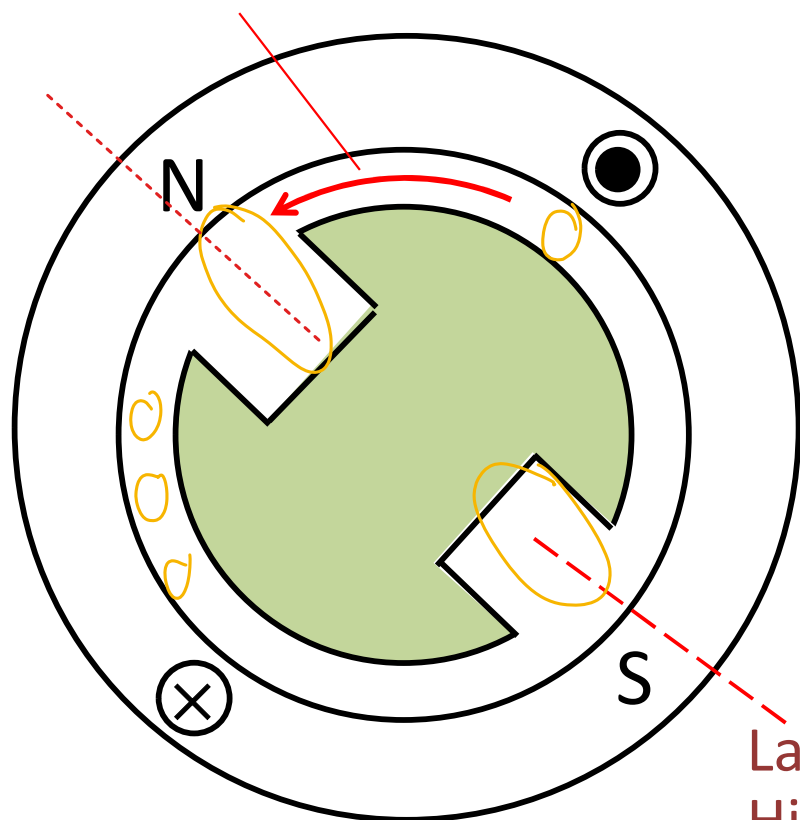


- Alignment Torque จะออกแรงในทิศทางที่พยายามทำให้สนามแม่เหล็กจากโรเตอร์เรียงตัวในแนวเดียวกันกับสนามแม่เหล็กจากสเตเตอร์
- ต้องมีสนามแม่เหล็กทั้ง 2 ด้าน (สเตเตอร์ และ โรเตอร์)

Reluctance Torque

Reluctance
Torque

Minimal
Reluctance



-Reluctance Torque จะออกแรงในทิศทางที่พยายามทำให้ Reluctance มีค่าน้อยที่สุด

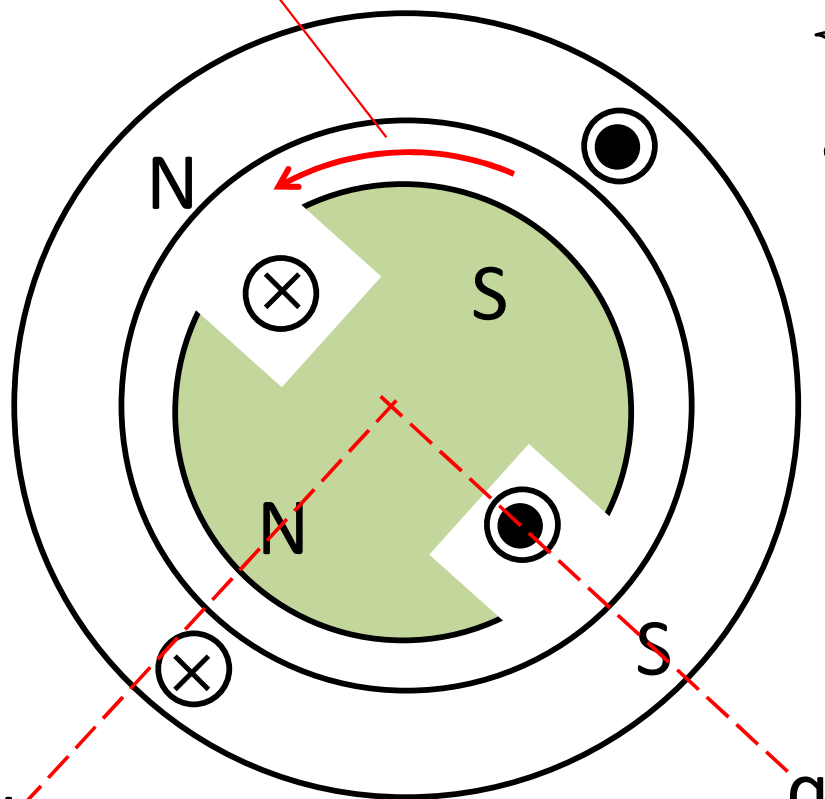
- มีเพียงสนามแม่เหล็กด้านใดด้านหนึ่งเท่านั้น

- Reluctance ที่ตำแหน่งต่างๆของโรเตอร์ ต้องไม่เท่ากัน : Saliency

→ non uniform air gap

Alignment Torque & Reluctance Torque

Alignment Torque +
Reluctance Torque



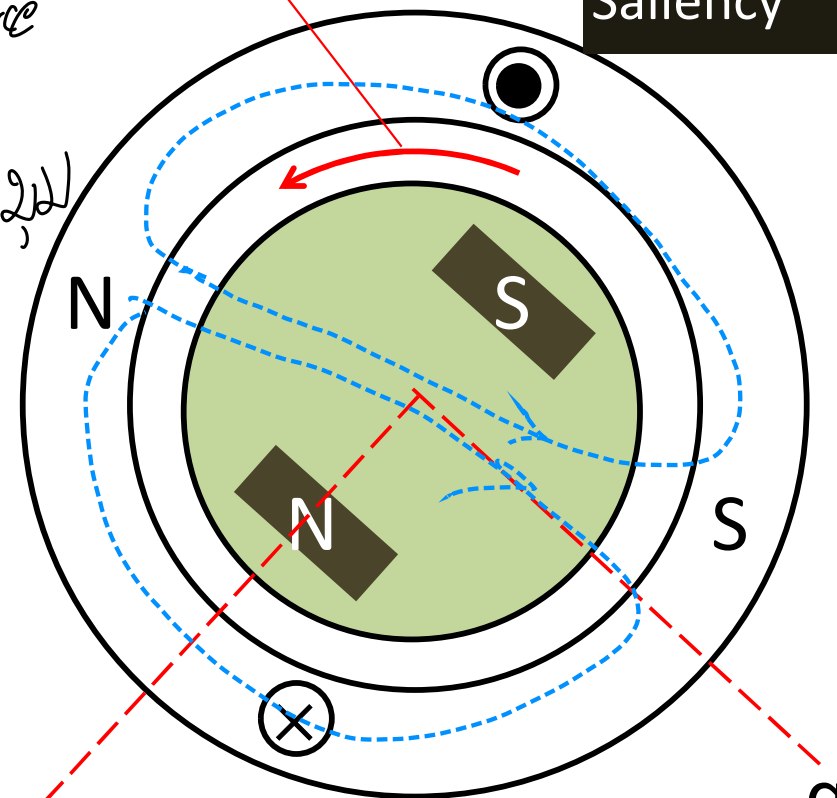
d
Low
Reluctance

Machine
with Saliency

q
High
Reluctance

Reluctance
ไม่เหมือนกับ
ในมอเตอร์ซิงโคร

Alignment Torque +
Reluctance Torque



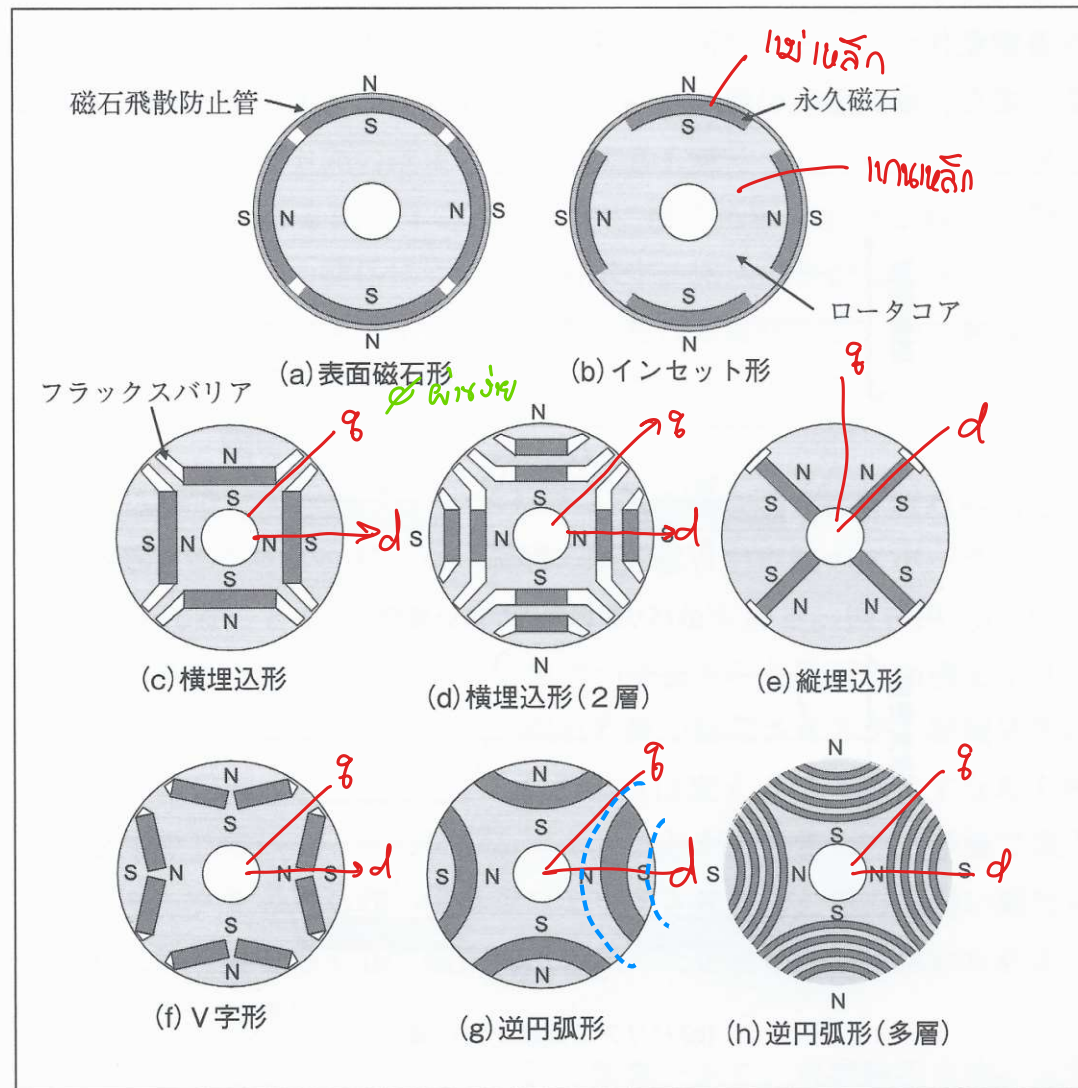
d High
Reluctance

q
Low
Reluctance

Machine
with Inverse
Saliency

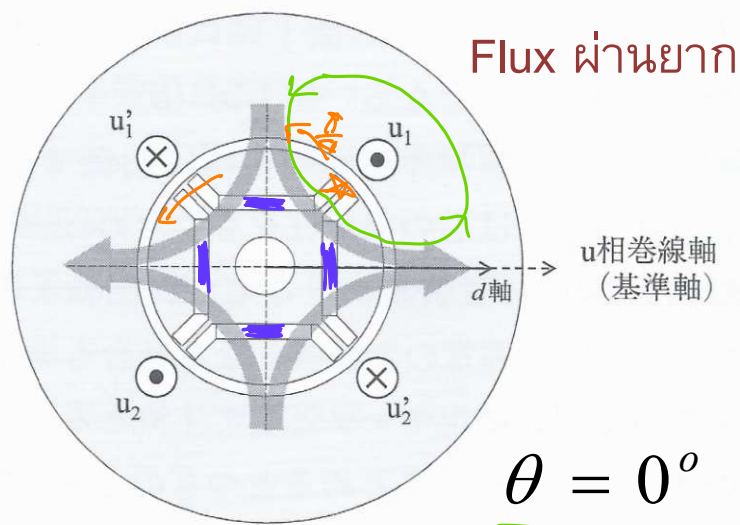
พิจารณา Permanent Magnet เป็น Air gap (มี $\mu r \approx 1$)

Rotor Structure of Synchronous Machine

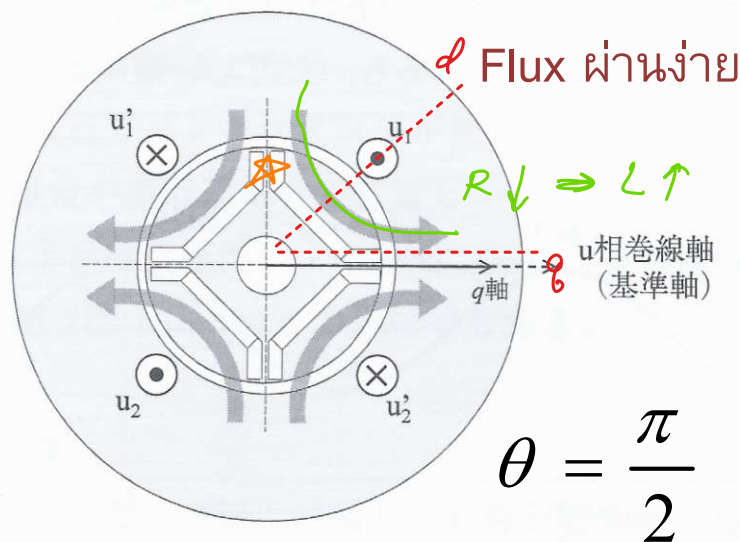


[図 5-16] 代表的な永久磁石配置

Reluctance & Inductance of IPMSM



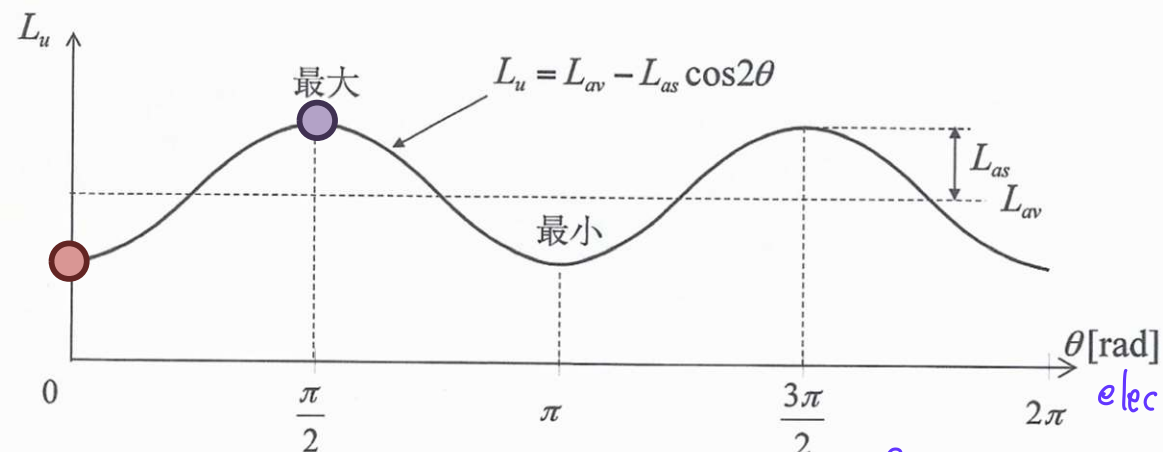
(a) d軸方向の磁束



(b) q軸方向の磁束

$\theta_m = \pi/4$

$L \propto \frac{1}{R}$

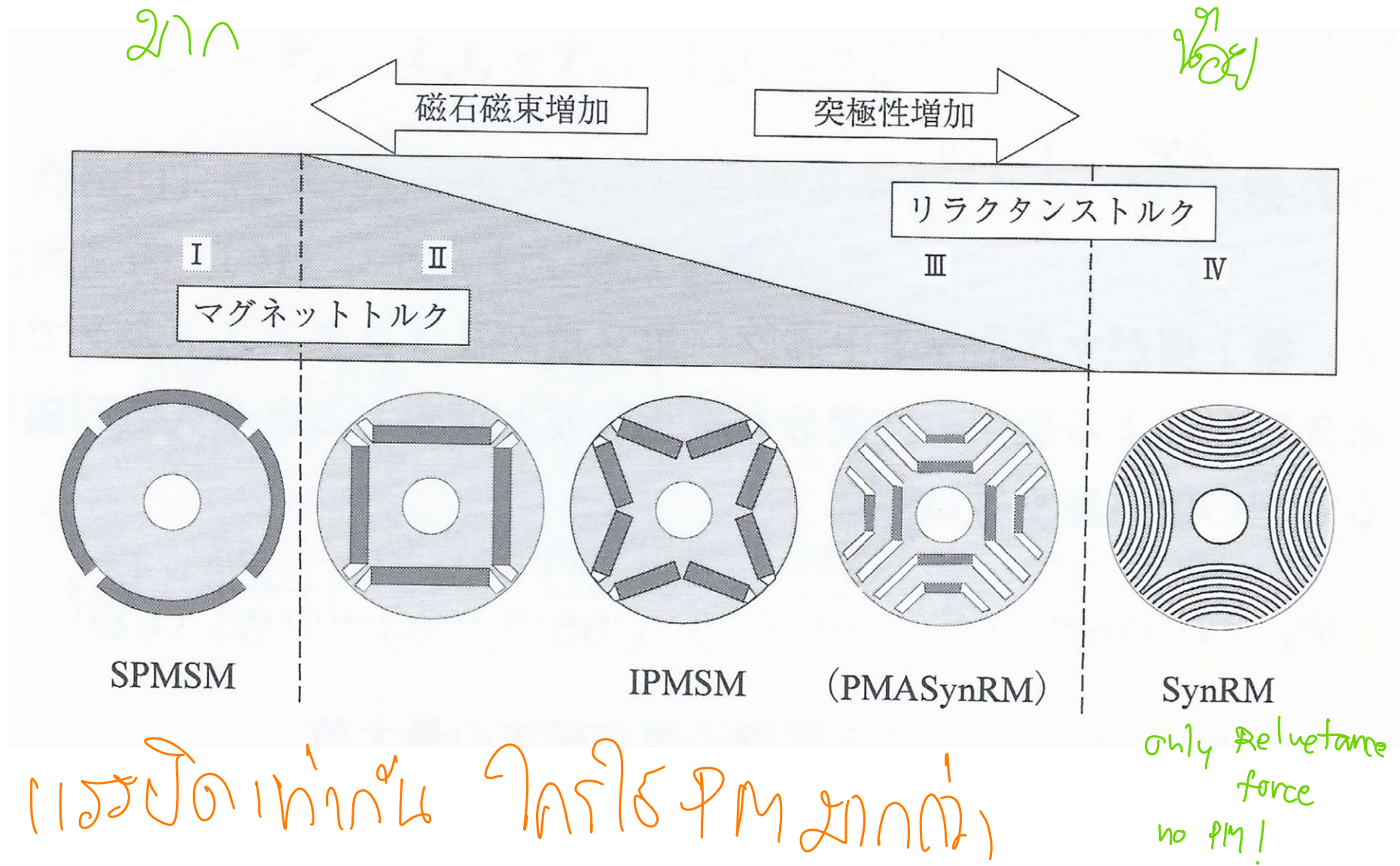


$\theta_{elec} = 2\theta_m$
(4 poles)

ค่า Inductance เปลี่ยนแปลงตามตำแหน่งของ
โรเตอร์

$1.00, 2\pi$

Synchronous Machine & Usage of Permanent Magnet



Comparison of Synchronous Machines

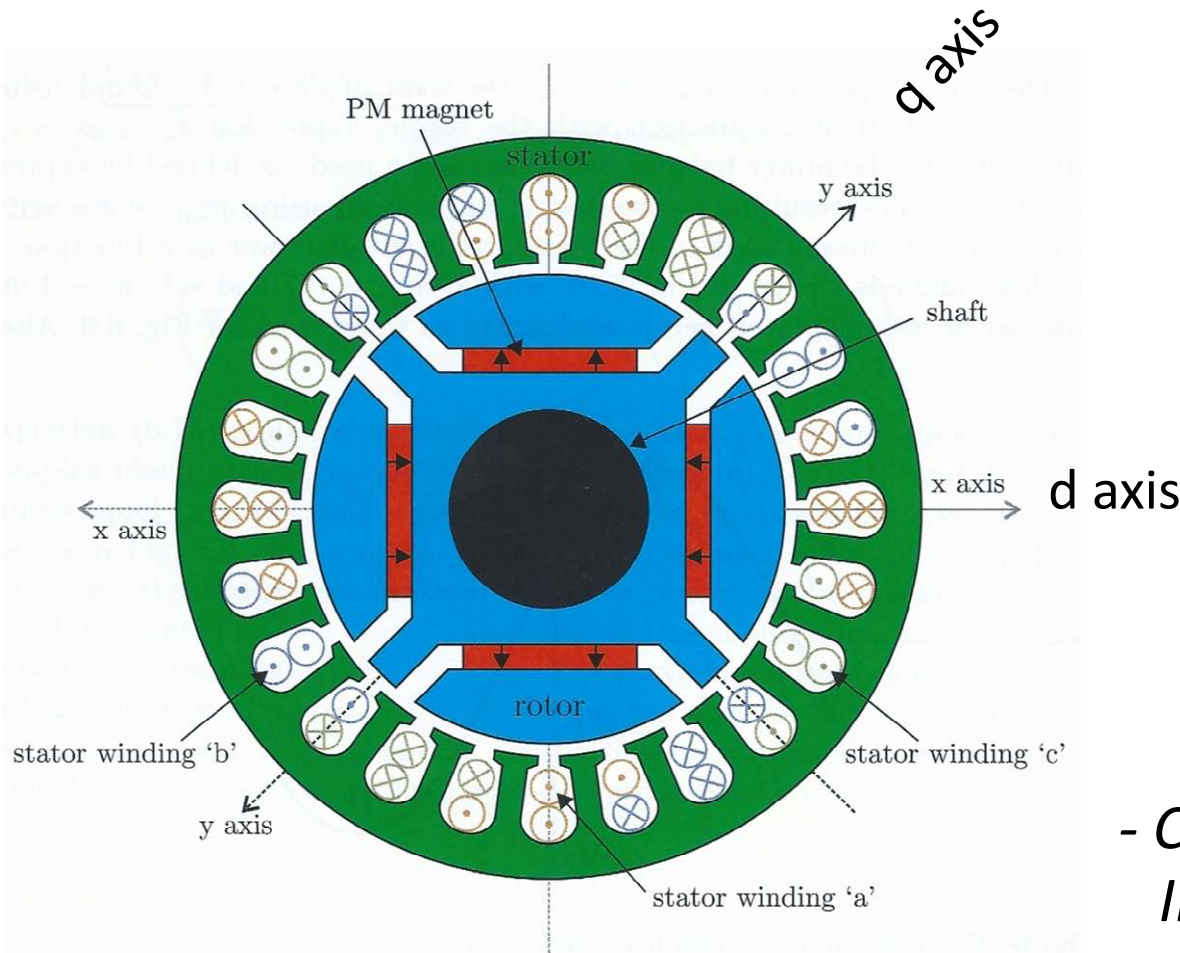
〔表 1-4〕 同期モータの構造とトルク発生メカニズムによる分類

stator

rotor

項目	SPMSM	IPMSM	SynRM
固定子構造			
回転子構造			
インダクタンス・永久磁石磁束の位置による変化			
トルク発生メカニズム	永久磁石による電機子鎖交磁束の変化 (マグネットトルク) <i>PM</i>	永久磁石による電機子鎖交磁束の変化 (マグネットトルク) + 自己インダクタンスと相互インダクタンスの変化 (リラクタンストルク) <i>Mutual Inductance</i>	自己インダクタンスと相互インダクタンスの変化 (リラクタンストルク)

Interior Permanent Magnet Synchronous Motor



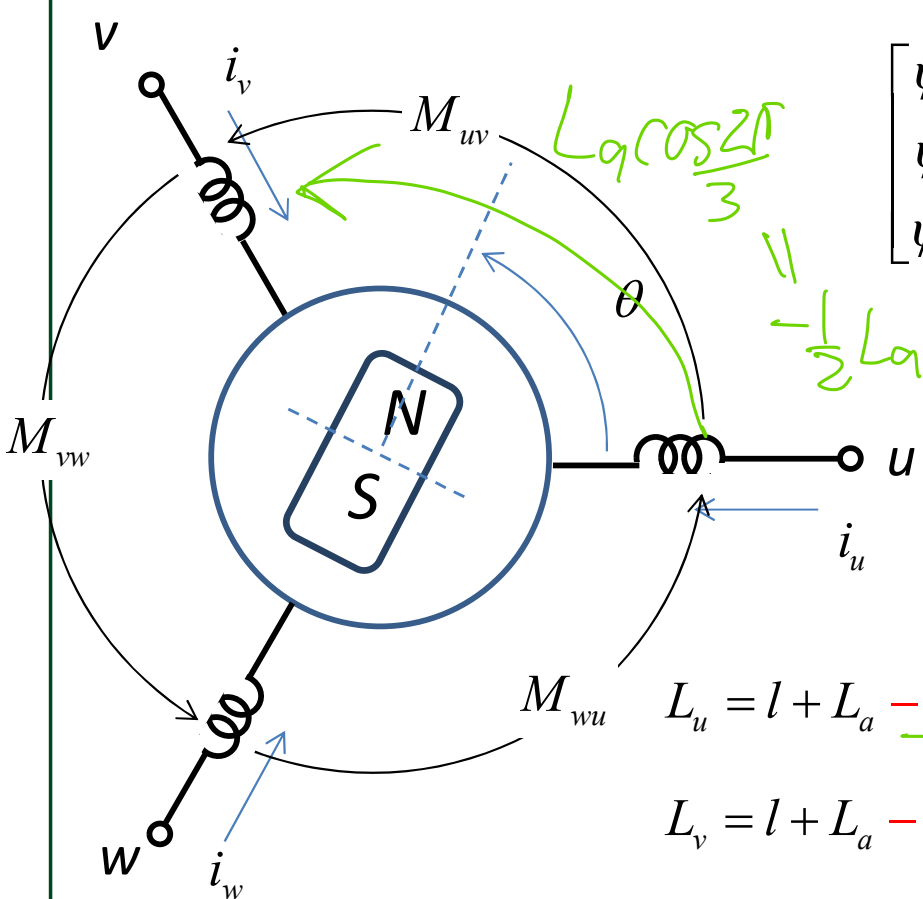
-Inverse saliency

- ✓ High Speed
- ✓ High Efficiency
- ✓ High Power Density

- *Cross-sectional view of 4-pole IPMSM*

Dynamic Model of IPMSM

Flux Linkage on Windings :



$$\begin{bmatrix} \psi_u \\ \psi_v \\ \psi_w \end{bmatrix} = \begin{bmatrix} L_u & M_{uv} & M_{wu} \\ M_{uv} & L_v & M_{vw} \\ M_{wu} & M_{vw} & L_w \end{bmatrix} \begin{bmatrix} i_u \\ i_v \\ i_w \end{bmatrix} + \lambda' \begin{bmatrix} \cos \theta \\ \cos(\theta - 120^\circ) \\ \cos(\theta - 240^\circ) \end{bmatrix}$$

Flux Linkage from permanent magnet

$$L_u = l + L_a - L_{as} \cos 2\theta$$

$$L_v = l + L_a - L_{as} \cos \left(2\theta + \frac{2\pi}{3} \right)$$

$$L_w = l + L_a - L_{as} \cos \left(2\theta - \frac{2\pi}{3} \right)$$

$$M_{uv} = -\frac{1}{2} L_a - L_{as} \cos \left(2\theta - \frac{2\pi}{3} \right)$$

$$M_{vw} = -\frac{1}{2} L_a - L_{as} \cos \left(2\theta - \frac{2\pi}{3} + \frac{2\pi}{3} \right)$$

$$M_{wu} = -\frac{1}{2} L_a - L_{as} \cos \left(2\theta + \frac{2\pi}{3} \right)$$

$$L_n = l + \underbrace{L_a}_{=} - \underbrace{L_{as} \cos 2\theta}_{=}$$

$$M_{uv} = \underbrace{L_a \cos \frac{2\pi}{3}}_{-\frac{1}{2}L_a} - \underbrace{L_{as} \cos(2\theta - \frac{2\pi}{3})}_{=}$$

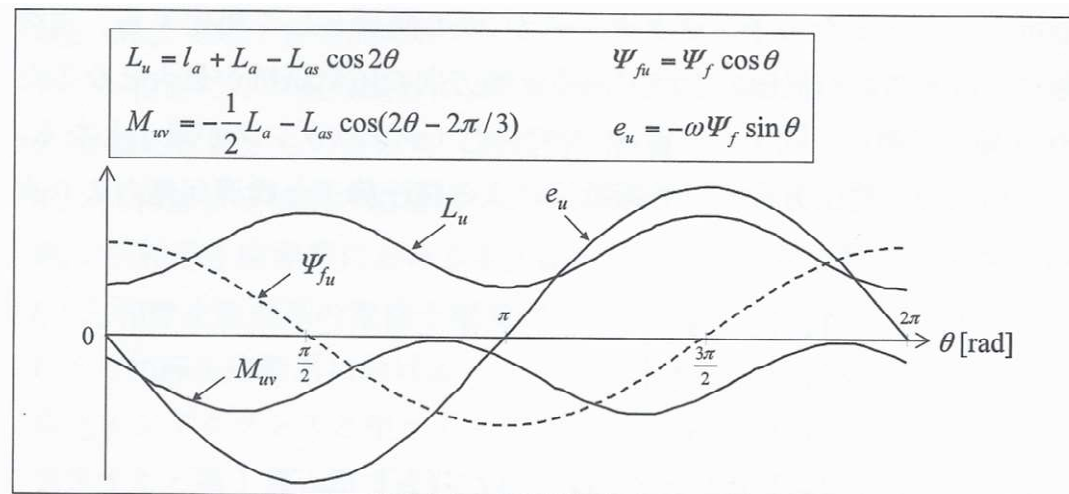
Dynamic Model of IPMSM

Induced Voltage :

$$\underbrace{\begin{bmatrix} v_{un} \\ v_{vn} \\ v_{wn} \end{bmatrix}}_{\mathbb{V}} = R \begin{bmatrix} i_u \\ i_v \\ i_w \end{bmatrix} + \frac{d}{dt} \begin{bmatrix} \psi_u \\ \psi_v \\ \psi_w \end{bmatrix}$$

$$e = \frac{d\psi}{dt}$$

Faraday's



$$\underbrace{\begin{bmatrix} R + pL_u & pM_{uv} & pM_{wu} \\ pM_{uv} & R + pL_v & pM_{vw} \\ pM_{wu} & pM_{vw} & R + pL_w \end{bmatrix}}_{Z_s} \underbrace{\begin{bmatrix} i_u \\ i_v \\ i_w \end{bmatrix}}_{\mathbb{I}} + \underbrace{\begin{bmatrix} -\omega\lambda' \sin \theta \\ -\omega\lambda' \sin \left(\theta - \frac{2\pi}{3} \right) \\ -\omega\lambda' \sin \left(\theta + \frac{2\pi}{3} \right) \end{bmatrix}}_{\mathbb{E}}$$

vector

$$\mathbb{V} = Z_s \mathbb{I} + \mathbb{E}$$

Dynamic Model of IPMSM

3->2 Transformation :

$$\text{(transpose)} \\ T^T = T^{-1}$$

$$\begin{aligned} T \mathbb{V} &= T Z_s \mathbb{I} + T \mathbb{E} \\ &= \left(T Z_s T^T \right) (T \mathbb{I}) + T \mathbb{E} \end{aligned}$$

$$\begin{bmatrix} v_x \\ v_y \end{bmatrix} = \begin{bmatrix} R + p(L_0 + L_1 \cos 2\theta) & pL_1 \sin 2\theta \\ pL_1 \sin 2\theta & R + p(L_0 + L_1 \cos 2\theta) \end{bmatrix} \begin{bmatrix} i_x \\ i_y \end{bmatrix} + \omega \lambda \begin{bmatrix} -\sin \theta \\ \cos \theta \end{bmatrix}$$

$$L_0 = l + \frac{3}{2} L_a \quad L_1 = -\frac{3}{2} L_{as} \quad \lambda' = \sqrt{\frac{3}{2}} \lambda$$

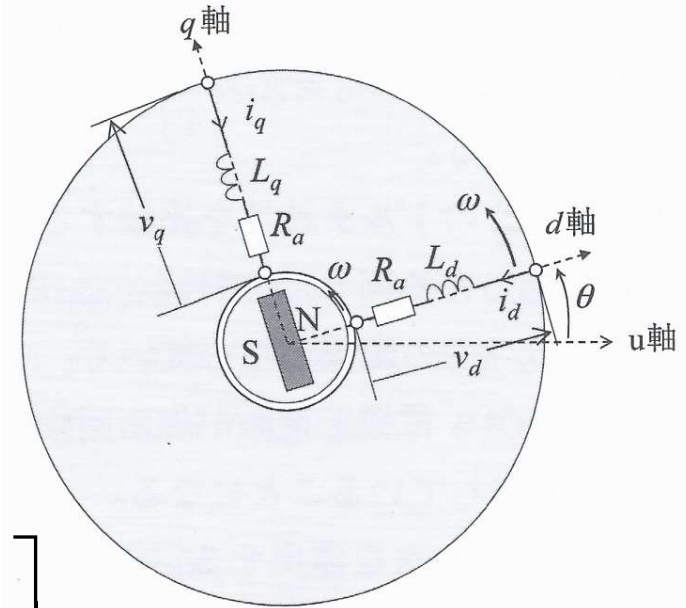
Dynamic Model of IPMSM on Rotor Reference Frame

Axis Transformation :

$$\begin{bmatrix} v_d \\ v_q \end{bmatrix} = \begin{bmatrix} R + pL_d & -\omega L_q \\ \omega L_d & R + pL_q \end{bmatrix} \begin{bmatrix} i_d \\ i_q \end{bmatrix} + \begin{bmatrix} 0 \\ \omega\lambda \end{bmatrix}$$

(ในกรณี **SPMSM** $L_d = L_q$)

$$\begin{bmatrix} 0 & -\omega L_q \\ \omega L_d & 0 \end{bmatrix}$$

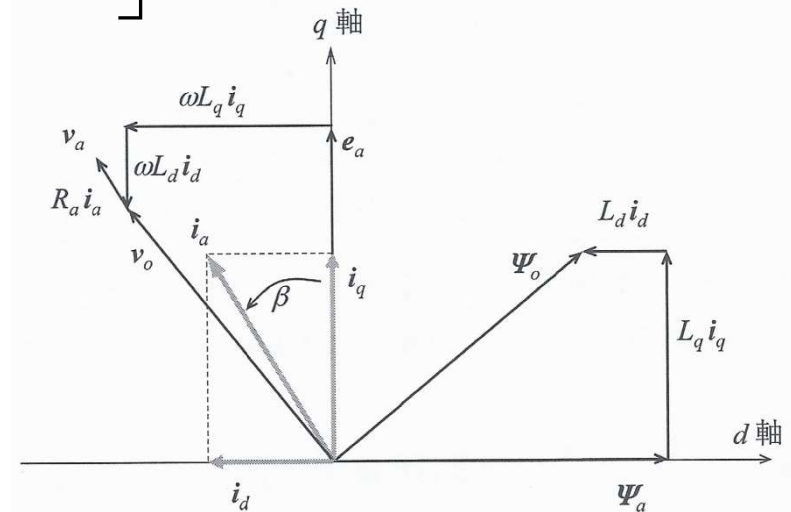


$$\begin{bmatrix} v_d \\ v_q \end{bmatrix} = R \begin{bmatrix} i_d \\ i_q \end{bmatrix} + \begin{bmatrix} L_d & 0 \\ 0 & L_q \end{bmatrix} \frac{d}{dt} \begin{bmatrix} i_d \\ i_q \end{bmatrix} + \begin{bmatrix} -\omega L_q i_q \\ \omega L_d i_d + \omega\lambda \end{bmatrix}$$

$$L_d = l + \frac{3}{2}(L_a - L_{as})$$

$$L_q = l + \frac{3}{2}(L_a + L_{as})$$

$$L_q > L_d$$



Power & Torque

Power...

$$P_{in} = \begin{bmatrix} i_d \\ i_q \end{bmatrix}^T \begin{bmatrix} v_d \\ v_q \end{bmatrix} = \begin{bmatrix} i_d \\ i_q \end{bmatrix}^T \begin{bmatrix} R + pL_d & -\omega L_q \\ \omega L_d & R + pL_q \end{bmatrix} \begin{bmatrix} i_d \\ i_q \end{bmatrix} + \begin{bmatrix} i_d \\ i_q \end{bmatrix}^T \begin{bmatrix} 0 \\ \omega \lambda \end{bmatrix}$$

$$P_{in} = \underbrace{R(i_d^2 + i_q^2)}_{\text{Copper Loss}} + \underbrace{\frac{d}{dt} \left\{ \frac{1}{2} (L_d i_d^2 + L_q i_q^2) \right\}}_{\text{Magnetic Energy}} + \omega \left\{ \underbrace{\lambda i_q}_{\text{Stator}} + \underbrace{(L_d - L_q) i_d i_q}_{\text{Reluctance torque}} \right\}$$

Reluctance torque

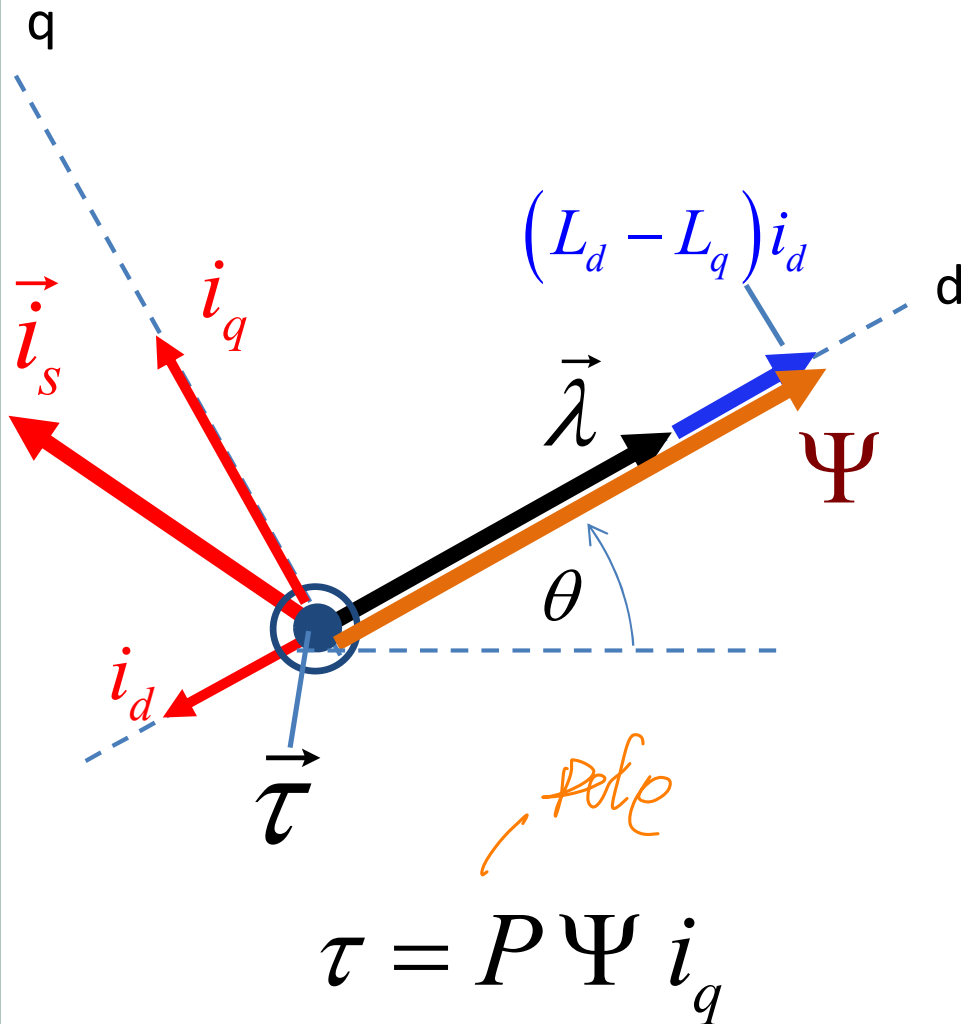
Stator

Mechanical Power

rotor

$$\tau = \frac{P_{mech}}{\omega_m} = \frac{P_{mech}}{\omega / P}$$

Torque



$$\tau = P \left\{ \underbrace{\lambda i_q}_{\text{Alignment Torque}} + \underbrace{(L_d - L_q) i_d i_q}_{\text{Reluctance Torque}} \right\}$$

$$\tau = P \left\{ \underbrace{\lambda}_{\text{Permanent Magnet}} + \underbrace{(L_d - L_q) i_d}_{\text{Saliency}} \right\} i_q$$

$$\Psi \triangleq \lambda + (L_d - L_q) i_d$$

Fictitious Flux

Vector Control of IPMSM

$$\begin{bmatrix} L_d & 0 \\ 0 & L_q \end{bmatrix} \frac{d}{dt} \begin{bmatrix} i_d \\ i_q \end{bmatrix} = \begin{bmatrix} v_d \\ v_q \end{bmatrix} - R \begin{bmatrix} i_d \\ i_q \end{bmatrix} - \begin{bmatrix} -\omega L_q i_q \\ \omega L_d i_d + \omega \lambda \end{bmatrix}$$

-ควบคุมแรงบิดผ่านการควบคุมกระแส...

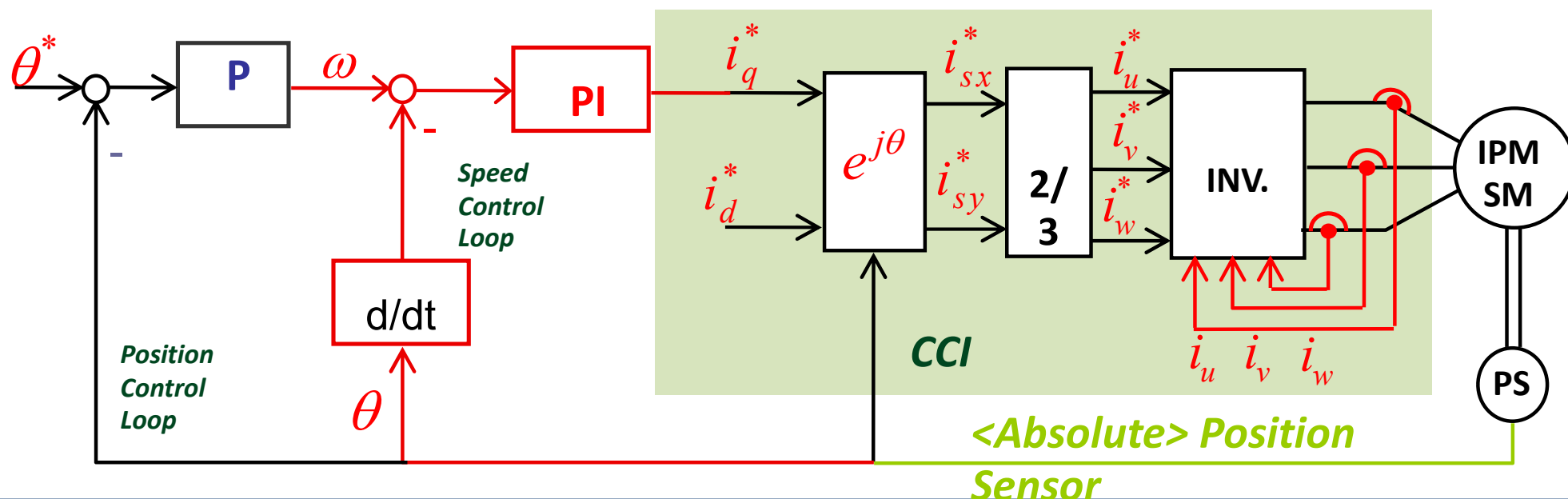
$$\Psi = \lambda + (L_d - L_q) i_d$$

$$i_d^* = 0, i_q^* \quad \text{Alignment Torque}$$

$$i_d^*, i_q^* \quad \text{Reluctance Torque}$$

$$\frac{d\theta}{dt} = \omega$$

$$\tau = P \Psi i_q$$



Decoupling Control

$$\begin{bmatrix} L_d & 0 \\ 0 & L_q \end{bmatrix} \frac{d}{dt} \begin{bmatrix} i_d \\ i_q \end{bmatrix} = \begin{bmatrix} v_d \\ v_q \end{bmatrix} - R \begin{bmatrix} i_d \\ i_q \end{bmatrix} - \underbrace{\begin{bmatrix} -\omega L_q i_q \\ \omega L_d i_d \end{bmatrix}}_{\substack{\text{Crossing} \\ \text{Coupling} \\ \text{EMF}}} - \underbrace{\begin{bmatrix} 0 \\ \omega \lambda \end{bmatrix}}_{\substack{\text{Back} \\ \text{EMF}}}$$

กำหนดให้ **Decoupling Control** :

$$\begin{bmatrix} v_d \\ v_q \end{bmatrix} = \begin{bmatrix} v'_d \\ v'_q \end{bmatrix} + \begin{bmatrix} -\omega L_q i_q \\ \omega L_d i_d \end{bmatrix} + \begin{bmatrix} 0 \\ \omega \lambda \end{bmatrix}$$

$$\begin{bmatrix} v'_d \\ v'_q \end{bmatrix} = R \begin{bmatrix} i_d^* \\ i_q^* \end{bmatrix}$$

Decoupling Control

Resultant Dynamic :

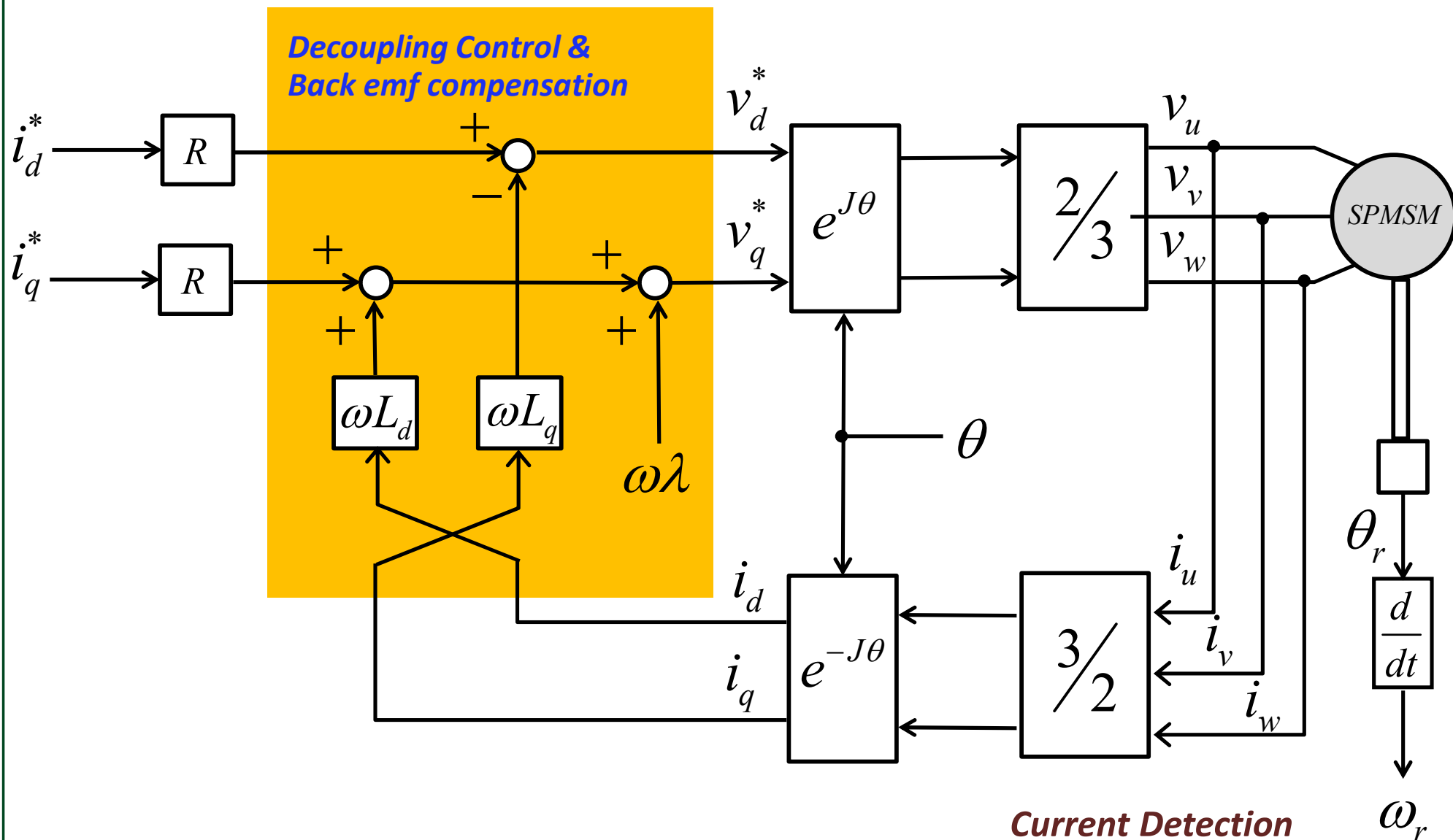
$$\begin{bmatrix} \textcolor{red}{L}_d \frac{di_d}{dt} \\ \textcolor{blue}{L}_q \frac{di_q}{dt} \end{bmatrix} = -R \begin{bmatrix} i_d \\ i_q \end{bmatrix} + R \begin{bmatrix} i_d^* \\ i_q^* \end{bmatrix}$$

$$i_d = \frac{1}{\textcolor{red}{L}_d s / R + 1} i_d^*$$

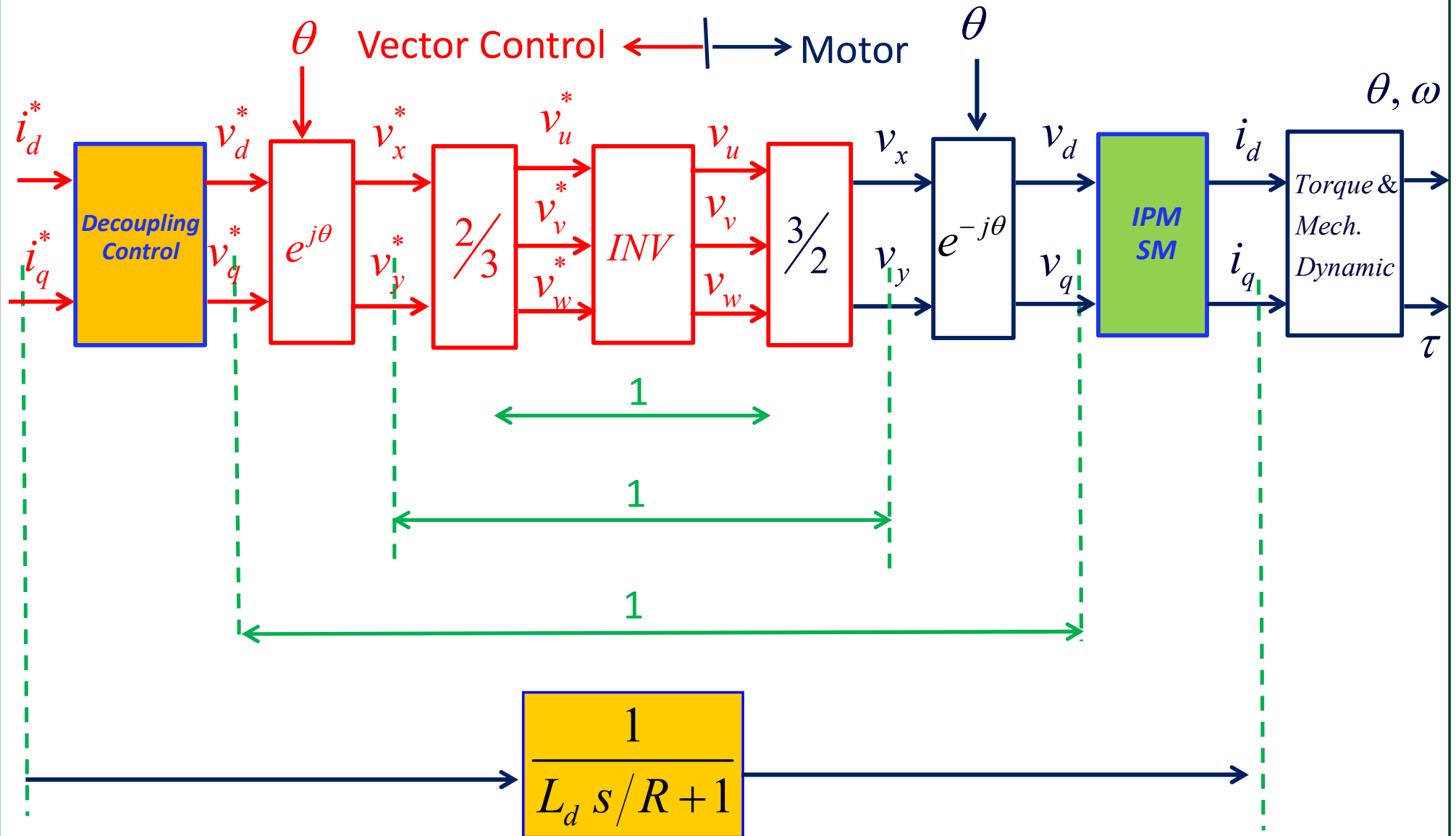
$$i_q = \frac{1}{\textcolor{blue}{L}_q s / R + 1} i_q^*$$

First-Order Response

Vector Control with Decoupling Control Scheme



Overall Block Diagram of Decoupling Control



Decoupling Control with Current Feedback

